

ارزیابی آلودگی فلزات سنگین در خاک منطقه معدن متروکه سرب - روی آی قلعه‌سی، جنوب خاور تکاب

بهناز دهرآزما^۱، آمنه آذربیکان^۲، سروش مدبری^۳ و علیرضا سیاره^۴

^۱دانشیار، دانشکده مهندسی عمران، دانشگاه صنعتی شهرورد، شهرورد، ایران

^۲کارشناسی ارشد، دانشکده زمین‌شناسی، دانشگاه صنعتی شهرورد، شهرورد، ایران

^۳استادیار، دانشکده زمین‌شناسی، پردیس علوم، دانشگاه تهران، تهران، ایران

^۴کارشناسی ارشد، سازمان زمین‌شناسی و اکتشافات معدنی کشور، تهران، ایران

تاریخ پذیرش: ۱۳۹۲/۰۲/۲۳ تاریخ دریافت: ۱۳۹۱/۰۵/۱۴

چکیده

خاک یکی از مهم‌ترین اجزای لیتوسفر بوده و به عنوان بخشی از اکوسیستم نقش بسیار مهمی در چرخه حیات ایفا می‌کند. هدف از این تحقیق ارزیابی تأثیر کانه‌زایی و معدن متروکه سرب - روی آی قلعه‌سی بر نحوه توزیع فلزات سنگین و آلودگی خاک منطقه است. در این راستا نمونه از خاک حاصل از باطله‌های رها شده در اطراف معدن متروکه و ۲۳ نمونه خاک بر جا در کل حوضه آبریز مورد مطالعه، از عمق ۵ تا ۲۵ سانتی‌متری با در نظر گرفتن چینه‌شناسی منطقه و فاصله از معدن متروکه، برداشت شد. نمونه‌های خاک حاصل از باطله و خاک بر جای منطقه توسط پلاسمای جفت فلزات سنگین (ICP-OES) برای تعیین غلظت فلزات سنگین (As, Zn, Pb, Cd, Cu, Ag) آنالیز شدند. نتایج نشان می‌دهند که متوسط غلظت فلزات Pb (۹۱۸/۲)، Zn (۹۳۹۲/۳)، As (۶۱/۱)، Cd (۶۳۰/۸)، Cu (۰/۰۲) و Ag (۱۰۰۵/۹) در نمونه‌های خاک حاصل از باطله‌ها نسبت به متوسط خاک جهانی، به جز Cd و نسبت به استاندارد خاک هلند به جز Ag بالا است. در نمونه‌های خاک اطراف معدن نیز غلظت فلزات بالا است و با دور شدن از رگه معدنی و معدن متروکه از غلظت آنها کاسته می‌شود. در نمونه‌های شاهد غلظت فلزات Zn، Pb و Ag نسبت به متوسط خاک جهانی و استاندارد کشور هلند بالا است که این امر نشان دهنده بالا بودن غلظت زمینه این عناصر در منطقه می‌باشد. خاک منطقه از نظر شاخص‌های زمین‌ابداشت، ضریب غنی‌شدنی، ضریب آلودگی و درجه آلودگی و شاخص بار آلودگی برای عناصر Pb و Zn در اطراف محدوده معدنی دارای آلودگی بالاتری نهایت است. بر اساس ضریب همبستگی، عناصر Zn, Pb, Cu و Ag دارای همبستگی بالایی هستند.

کلیدواژه‌ها: فلزات سنگین، آلودگی، معدن متروکه، سرب و روی، آی قلعه‌سی

*نویسنده مسئول: بهناز دهرآزما

۱- پیش‌گفتار

انسان می‌گرددند. بعضی از فلزات سنگین مثل آرسنیک، کادمیم، سرب، کروم و جیوه بسیار سمی بوده و باعث آسیب جدی به سلامت انسان می‌شوند. با توجه به اینکه منابع معدنی خصوصاً کانسارهای فلزی حاوی مقادیر قابل توجه فلزات سنگین و عناصر بالقوه سمی هستند، تماس آب‌های سطحی و زیرزمینی با سنگ میزبان و توده‌ها و رگه‌های معدنی، و هوازدگی سنگ‌ها در کانسارهای باعث آزادسازی عناصر مختلف شده و مقدار زیادی از فلزات سنگین و عناصر بالقوه سمی را در رسوبات پایین دست و خاک‌های مجاور بر جای می‌گذارد.

مطالعات زیادی در ارتباط با ورود فلزات سنگین به محیط خاک در مناطق کانه‌زایی و معدنکاری کانسارهای فلزی انجام گرفته است. برای نمونه، در مطالعه‌ای که جهت ارزیابی بار آلودگی در آب، خاک و رسوبات متأثر شده از معدن سرب و روی Kongjujeil در جمهوری کره صورت گرفته کانی‌های موجود در خاک و رسوبات شامل، پیریت، کالکوپیریت، اسفالریت، گالن، مالاکیت و گوئیت می‌باشد. در این مطالعه فلزات سنگین As, Cd, Pb, Cu, Sb و Zn در خاک‌های سطحی اطراف محدوده معدنی دارای غلظت بالایی هستند (Lee, 2003). در معادن قدیمی به علت استفاده از روش‌های ساده و ناکارآمد، مواد باطله تولیدی دارای غلظت فلزی بالایی بوده که با قرارگیری در معرض عوامل جوی شرایط رهاسازی فلزات به محیط خاک و آب فراهم می‌شود (Johnson et al., 1994). در مطالعه‌ای که جهت ارزیابی آلودگی خاک کشاورزی و باطله‌ها به فلزات سنگین در معدن متروکه سرب و روی در منطقه Kirki در شمال خاور یونان انجام شد، نمونه‌های باطله غلظت بسیار بالایی از عناصر As, Cd, Pb, Zn و Cu را نشان دادند. نمونه خاک‌های نزدیک به محدوده معدن نیز دارای غلظت فلزات سنگین بالایی بودند که نشان دهنده وابستگی آلودگی خاک به فعالیت‌های معدنکاری است (Nikolaidis et al., 2010).

فلزات سنگین می‌توانند از منابع انسان‌زاد و زمین‌زاد وارد محیط زیست شوند. منابع طبیعی فلزات سنگین را می‌توان سنگ‌های آتش‌شناشی، رسوبی، دگرگونی و هوازدگی تشکیلات خاک در نظر گرفت و منابع غیر طبیعی این فلزات را می‌توان متأثر از فعالیت‌های انسان همچون معدنکاری، کشاورزی و فعالیت‌های صنعتی دانست (Bradl, 2005). معدنکاری مواد لازم برای حیات و پیشرفت بشر را فراهم کرده و فعالیت‌های انسان‌زاد از طرفی با افزایش آلودگی‌ها امکان حیات و استفاده از محیط زیست سالم را از بشر می‌گیرد. به همین جهت در بسیاری از کشورها، تأثیرات زیست‌محیطی عملیات معدنکاری موردن بررسی قرار گرفته و در نهایت استانداردهایی در زمینه آلودگی خاک ناشی از فعالیت‌های معدنی و حدود آلودگی‌های آب، خاک و گیاه حاصل از این صنعت در نظر گرفته شده است. مهمترین خطرات مناطق کانه‌زایی و معدن متروکه سولفیدی، زهاب اسیدی معدن و باطله‌های رها شده در منطقه می‌باشد. باطله‌ها دارای غلظت بالایی از عناصر بوده که تحت شرایط ویژه محیطی، این عناصر رها شده و وارد منابع آب و خاک می‌شوند، لذا غلظت زمینه عناصر در خاک‌های مناطق معدنی و زون‌های کانه‌زایی شده، بالا است.

عناصر کمیاب یا جزیی موجود در خاک عناصری هستند که در غلظت‌های کمتر از ۱۰۰ mg/kg وجود دارند. عناصر جزیی مهم در محیط زیست، انسان و حیوان شامل فلزات (Cd, Cr, Zn, Pb, Hg و ...)، شبه فلزات (As, Sb و B)، غیر فلزات (Se)، اکتینوییدها (U) و هالوژن‌ها (I و F) هستند. این عناصر با عناوین مختلفی همچون فلزات سمی، فلزات جزیی یا کمیاب و فلزات سنگین خوانده می‌شوند (Hooda, 2010). فلزات سنگین و عناصر بالقوه سمی از جمله آلاندنه‌های پایدار در خاک بوده و چون توسط موجودات خاک تجزیه نمی‌شوند، از خاک به گیاه، محصولات کشاورزی و در نتیجه فرآورده‌های دامی منتقل شده و وارد چرخه غذایی

در صد سیلت، رس و ماسه)، و ارزیابی نحوه توزیع غلظت فلزات سنگین در خاک منطقه پرداخته می شود.

۲- محدوده مورد بررسی

کانه‌زایی چند فلزی آق قلعه‌سی در فاصله ۳۰ کیلومتری شهرستان تکاب، در منطقه‌ای کوهستانی و صعب‌العبور و در طول جغرافیایی $21^{\circ} 47' 47''$ و $24^{\circ} 47' 47''$ شمالی قرار دارد. مساحت منطقه مورد مطالعه حدود ۲۰ کیلومتر مربع است که در بخش جنوب خاوری شهرستان تکاب و بین استان‌های آذربایجان غربی، کردستان و زنجان واقع شده است. متوسط بارندگی سالیانه منطقه ۴۰۰ میلی‌متر و متوسط رطوبت سنتی هوا $56/31$ درصد گزارش شده است (عزیزی، ۱۳۸۶). بطرور کلی اقلیم منطقه سرد و خشک است. منطقه تکاب به دلیل قرارگیری بر روی زون ارومیه- دختر یا سهند- بزمان یکی از مناطق مهم متالوژی‌نی در ایران است که می‌توان به معادن فلزی و غیر فلزی متعددی در این منطقه اشاره کرد. یکی از مسائل مهم در این منطقه غلظت زمینه بالای فلزات سنگین در خاک و همچنین کانه‌زایی سرب- روی در منطقه و نیز معدنکاری قدیمی می‌باشد که می‌تواند دلیل عده آسودگی منابع آب، خاک و گیاهان باشد.

۳- زمین‌شناسی

منطقه تکاب از نظر جایگاه زمین‌ساختی، محل برخورد زون‌های سنتدج- سیرجان و البرز- آذربایجان (نبوی، ۱۳۵۵) بوده و کانه‌زایی روی- سرب آق قلعه‌سی در شمال باختری زون ارومیه- دختر (Stocklin, 1968) یا سهند- بزمان (آتاباتی، ۱۳۸۳) قرار دارد. این زون عمدتاً از مجموعه‌های ولکانیک- پلوتونیک تشکیل شده است که در فاز پس از انوسن (الیگومیوسن) مورد هجوم توده‌های نفوذی عمدتاً گرانیتوئیدی قرار گرفته‌اند. نقشه زمین‌شناسی منطقه (فندی و حریری، ۱۳۷۹) در شکل ۱ آورده شده است. عده سازندگانهای منطقه از قدیم به جدید شامل سنگ‌های دگرگون شده کرتاسه، سنگ‌های رسوبی انوسن، واحد آهکی، واحد مارنی- آهکی، واحد سیلتی ماسه‌ای می‌وosn که کانه‌زایی در آن اتفاق افتاده و توده نیمه عمیق داستی هستند. کانسار پلی‌متال آق قلعه‌سی از نوع اپی‌ترمال با سولفیداسیون حدواتسط است که مهمترین کانی‌های موجود در آن، سولفیدهایی از قبیل پیریت (FeS_2)، پورنیت (Cu_5FeS_4)، کالکوپیریت (CuFeS_2)، گالن (PbS) و اسفالریت (ZnS) فقری از آهن بوده و تنها سولفولسالت موجود در این کانه‌زایی تراهدریت ($\text{Cu}_{12}\text{Sb}_4\text{S}_{13}$) است، که این کانی‌ها با توجه به مطالعات کانی‌شناسی مشابه صورت گرفته شاخص مناطق با کانه‌زایی سرب و روی هستند (صالحی و همکاران، ۱۳۸۹؛ Detra, 1977؛ Srivastava, 2011). سنگ میزان این کانسار سنگ‌های رسوبی الیگومیوسن (سیلتستون، ماسه‌سنگ و مارن) و گندلهای نیمه عمیق داستی می‌باشد. بر اساس مقایسه‌ای که بین سن کانسار اپی‌ترمال با سولفیداسیون حدواتسط آق قلعه‌سی و کانسارهای مشابه در مکزیک صورت گرفته اکثر کانسارها دارای سن الیگومیوسن تا پلیوسن هستند. از آنجایی که کانه‌زایی در منطقه آق قلعه‌سی، همزمان با نفوذ گندید داستی به درون سکانس رسوبی الیگومیوسن صورت گرفته، بنابراین سن کانه‌زایی همزمان با نفوذ گندید و مربوط به زمان پلیوسن در نظر گرفته می‌شود (شیرخانی، ۱۳۸۶).

بر اساس مطالعاتی که صورت گرفته، ذخیره این کانسار ۱۰۰ هزار تن برآورد شده است (قریانی، ۱۳۸۱). بر پایه آنالیزهای انجام شده غلظت عنصر Pb و Zn در رگه اصلی معدن آق قلعه‌سی به ترتیب 75600 mg/kg و 47700 mg/kg است (شرکت معدنکاران انگوران، ۱۳۹۱). بافت و ساخت کانسار سرب- روی آق قلعه‌سی رگه‌ای، پرکنده فضای خالی، شانه‌ای، برشی و توده‌ای تعیین شده است (شیرخانی، ۱۳۸۶). در نمونه سنگ‌های اخذ شده از دپوی باطله‌های معدن، به ترتیب غلظت عنصر Pb و Zn بیشتر از 10000 mg/kg و 83010 mg/kg و As و Cu به ترتیب $600/4$ و $600/4$ می‌باشند.

خاک‌های اطراف معدن متروکه سرب و روی که در دره Alcadia، جنوب اسپانیای مرکزی واقع شده‌اند جهت تعیین میزان فلزات سنگین مورد آنالیز قرار گرفته‌اند. غلظت کل فلزات در 60 نمونه خاک مزروعی، مرتعی و معدنی تعیین شد که مقادیر بالایی از فلزات Pb (98510 mg/kg), Zn (20912 mg/kg) و Cd (61 mg/kg) را نشان می‌دهند (Ruiz et al., 2009).

در مطالعه‌ای دیگر که بر روی آسودگی فلزات سنگین در اطراف معدن فعال سرب- روی و مس Koyulhisar در ترکیه انجام شد، نشان داده شد که اکسیداسیون کانی‌های سولفیدی باعث تولید آب‌های اسیدی با مقادیر بالای SO_4^{2-} و Fe می‌شوند. این آب‌های اسیدی مسئول اتحال فلزات سنگین و عناصر بالقوه سی Al , Mn, Fe و Pb و ورود آنها به آب‌های سطحی و زیرزمینی هستند. زباله‌های حاصل از معدنکاری نیز بر غلظت بالای فلزات در آب رودخانه و آب زیرزمینی اثر می‌گذارند. غلظت Al, Fe و Mn در زهاب اسیدی به ترتیب 170.8 ppb , 8829 mg/L و 190.8 mg/L بوده است (Keskin & Toptaş, 2012).

در محدوده معدن سرب و روی Arufu در نیجریه خاک کشاورزی نزدیک معدن و خاک جنگلی (به عنوان شاهد) جهت ارزیابی فلزات سنگین مورد بررسی قرار گرفته است. در این مطالعه غلظت فلزات Pb, Zn, Cd در خاک‌های کشاورزی نزدیک معدن بالاتر از غلظت این فلزات در خاک شاهد بوده که نشان دهنده تأثیر معدنکاری و فعالیت کشاورزی بر غلظت این فلزات در این خاک‌ها می‌باشد (Njanje et al., 2010). آسودگی خاک و رسوبات به فلزات سنگین در زامبیا نیز مورد بررسی قرار گرفت، که در این مطالعه بر اساس آنالیز خوش‌های 3 منشأ برای آسودگی فلزات سنگین در زامبیا پیدا شد. در گروه اول غلظت As , Pb , Cd و Zn به طور قابل توجهی بالا بوده Kabwe (مرکز زامبیا) می‌باشد. در رسوبات آبراهه Mushishima که از مناطق کانه‌زایی سولفیدی غنی در مس و کبات (شمال غرب زامبیا) منشأ گرفته‌اند نیز غلظت بالای Cu و مشاهده شد که در تلاقی با رودخانه Kafue و به طرف پایین دست از غلظت آنها کاسته می‌شود (Ikenaka et al., 2010).

ژئوشیمی زیست محیطی کانسار و معدن متروکه Webbs Consols در نیو ساوت ولز استرالیا توسط (Ashley et al. 2004) مورد بررسی قرار گرفت. با توجه به اینکه معدنکاری و بهره‌برداری کانی‌ها در مقیاس کوچک در این کانسار چند فلزی Pb-Zn-Ag صورت گرفته، اما مقادیر بالایی از فلزات سنگین و عناصر بالقوه سی Pb , As , Cd , Zn , Fe , Sb , Cu , S و As وارد محیط خاک شده است. باطله‌های رها شده در اطراف معدن حاوی مقادیر بالایی سولفیدهای آرسنوبیریت، گالن و اسفالریت و اکسیدهای تولید شده اسکروودیت، آنگلزیت و اکسی‌هیدروکسیدهای آهن می‌باشند. که مقادیر بسیار بالای As و Pb و مقادیر بالای Ag , Cd , Cu , Sb , Zn و As مشاهده شد که در اینکه از جمله معدن سرب و روی فعال در ایران، می‌توان به معدن انگوران، آهنگران، ایرانکوه، کوشک و ... اشاره کرد، که با توجه به نوع کانی‌های همراه و فعالیت‌های صورت گرفته، مطالعات کانی‌شناسی و زیست محیطی گسترده‌ای بر روی آنها صورت گرفته است. با توجه به بررسی‌های صورت گرفته بر روی خاک محدوده معدنی سرب و روی آهنگران در همدان، غلظت میانگین عناصر Cu , Pb , Ni , Zn و Cd در خاک به ترتیب 40.4 , 7192.81 , 1346 و $18/5 \text{ mg/kg}$ (وهابزاده کبریا و همکاران، ۱۳۸۴).

با توجه به عدم وجود تحقیقات زیست محیطی در ارتباط با تأثیر گذاری کانسار سرب و روی آق قلعه‌سی بر آسودگی خاک در منطقه آق قلعه‌سی، در این پژوهش به بررسی آسودگی خاک منطقه به فلزات سنگین با استفاده از شاخص‌های ژئوشیمیایی شامل ضریب زمین‌اباشت (I_{geo}), ضریب غنی شدنگی (EF), ضریب آسودگی (Cf)، درجه آسودگی اصلاح شده (mCd) و شاخص بار آسودگی (PLI) و همچنین بررسی همبستگی فلزات سنگین با یکدیگر و پارامترهای فیزیکوشیمیایی خاک (OM, pH)

در خاک جهانی (جدول ۴) نشان می‌دهد که غلظت عناصر Pb , Cu , As , Zn و Ag در تمام نمونه‌های خاک بر جا، بالاتر از مقادیر متوسط خاک جهانی می‌باشد. غلظت این عناصر نیز به جز Ag نسبت به استاندارد کشور هلند (جدول ۴) بالاتر است. بر اساس مقایسه‌ای که بین غلظت عناصر در سنگ باطله‌ها با متوسط غلظت در خاک حاصل از باطله‌ها صورت گرفته، عناصر Cu و Ag در سنگ باطله نسبت به خاک حاصل از باطله‌ها به ترتیب بیشتر از ۸ و ۲ برابر افزایش غلظت نشان می‌دهند.

مقادیر متوسط غلظت این عناصر در نمونه خاک‌های حاصل از باطله‌ها، اختلاف سیار زیاد غلظت عناصر در خاک حاصل از باطله‌ها در مقایسه با خاک بر جای منطقه را بیان می‌کند. این اختلاف در برخی از عناصر مانند Pb , As , Zn و Cu به بیش از ۱۰۰ برابر می‌رسد. مقایسه خاک حاصل از باطله‌ها با خاک پایین دست منطقه و نمونه‌های شاهد نشان دهنده تأثیر بسیار کانسار سرب و روی و باطله‌های آن در توزیع غلظت این فلزات در خاک منطقه می‌باشد. شایان ذکر می‌باشد که اختلاف چندانی بین غلظت Cd در خاک حاصل از باطله‌ها در مقایسه با خاک بر جای منطقه دیده نمی‌شود که این امر عدم تأثیرگذاری کانسار در توزیع غلظت این عنصر در خاک منطقه را روشن می‌سازد.

فلزات سنگین مورد مطالعه در نمونه‌های خاک برداشت شده از بالادست به سمت پایین دست منطقه، تغییرات متفاوتی را نشان می‌دهند (جدول ۳). نمونه S_2 که از استاندارد رگه معدنی و معدن متروکه برداشت شده دارای بالاترین غلظت فلزات سنگین Zn , Pb , As , Cu , Ag بوده که در متوسط خاک جهانی و استاندارد خاک هلند به ترتیب بیشتر از ۱۰۰ و ۱۰ برابر افزایش غلظت بیش از ۱۰ برابر را نشان می‌دهند. نیز بر اساس استانداردهای مورد نظر افزایش غلظت بهتر از S_4 که از خاک‌های S_1 , S_3 و S_5 که از خاک‌های نزدیک معدن متروکه برداشت شده‌اند نیز، غلظت‌های بالایی از این عناصر به جز Cd را نسبت به استانداردهای مورد نظر نشان می‌دهند. با توجه به فاصله نمونه S_{16} از معدن متروکه که حدود ۷ کیلومتر می‌باشد، می‌توان نتیجه گرفت که حضور کانسار و معدنکاری قدیمی تا حدود بیش از ۷ کیلومتر بر خاک منطقه تأثیرگذار بوده است. کاهش غلظت عناصر As , Zn , Pb و Cu از بالادست (منطقه معدن متروکه) تا پایین دست منطقه، نشان از تأثیر کانسار بر نحوه توزیع این عناصر در خاک منطقه دارد. در بقیه نمونه‌ها غلظت برخی از فلزات نسبت به استانداردهای مورد نظر بالا است. تغییرات منظمی در پراکنش غلظت Ag در خاک بر جا، از بالادست به سمت پایین دست دیده نمی‌شود.

همانطور که بیشتر بیان شد اختلافی بین غلظت Cd در خاک حاصل از باطله‌ها با خاک بر جا، و همچنین بین خاک بالادست با خاک پایین دست منطقه دیده نمی‌شود، که این مطلب عدم تأثیرگذاری کانسار بر نحوه پراکنش این عنصر در خاک منطقه را روشن می‌سازد. در نمونه‌های S_{22} و S_{23} که نمونه‌های شاهد بوده و به ترتیب از بالادست معدن و خارج از محدوده کانه‌زایی برداشت شده‌اند، غلظت برخی از فلزات همچون Pb , As , Zn و Ag نسبت به استانداردهای مورد نظر (جدول ۴) بالا بوده که نشان دهنده آلوده بودن خاک منطقه به این عناصر و غلظت زمینه بالای عناصر در منطقه می‌باشد. شایان ذکر است که غلظت این عناصر در نمونه‌های شاهد در مقایسه با دیگر نمونه‌ها مقادیر کمتری را نشان می‌دهند که می‌تواند بیان کننده تأثیر کانه‌زایی سرب و روی بر توزیع این عناصر در خاک منطقه باشد.

۲-۱. ماقریس همبستگی

داده‌های ماتریس همبستگی پرسون فلزات سنگین (Pb , As , Zn , Cd , Cu و Ag) با پارامترهای فیزیکوشیمیابی خاک (pH , OM , درصد رس، سیلت و ماسه) در جدول ۵ آورده شده‌اند. با توجه به این نتایج، همبستگی بالایی بین فلزات Pb با Zn و Ag به ترتیب 0.085 و 0.088 دیده می‌شود که این امر به دلیل رفتار مشابه ژئوشیمیابی آنها و هم منشأ بودن آنها می‌باشد. همبستگی پایین بین Cd با Pb , Zn و Ag به دلیل عدم ارتباط ژئوشیمیابی این عنصر با کانه‌زایی در منطقه است. مواد آلی و مقدار رس

در محدوده مورد مطالعه گسل‌ها مهمترین کنترل کننده‌های ساختاری کانه‌زایی بوده و کانه‌زایی در طول گسل نرمال اصلی مجاور معدن متروکه آئی قلعه‌سی با روند شمال خاوری-جنوب باختり، به طول بیش از ۱ کیلومتر و عرض ۲ تا ۱۰ متر صورت پذیرفته است (شیرخانی، ۱۳۸۶). گسل‌های فرعی با روند شمال باختり-جنوب خاوری نیز گزارش شده‌اند که در امتداد یکی از آنها که عمود بر زون کانه‌زایی می‌باشد عمله کارهای معدنی صورت گرفته است (شیرخانی، ۱۳۸۶).

۴- مواد و روش‌ها

۴ نمونه از خاک حاصل از باطله‌های اطراف معدن (نمونه‌های $\text{S}_{4}-\text{S}_{23}$) با درنظر گرفتن موقعیت معدن و جنس سازندۀای زمین‌شناسی جهت ارزیابی کیفیت خاک در منطقه کانه‌زایی شده با منطقه غیرکانه‌زایی از بالادست تا پایین دست منطقه مورد مطالعه برداشت شد (شکل ۲ و جدول ۴).

همه نمونه‌ها با وزن حدود ۱ تا $1/5$ کیلوگرم و با کنار زدن خاک سطحی از عمق ۵ تا ۲۵ سانتی متر توسط بیله فلزی بدون رنگ جمع آوری شدند. هر نمونه خاک شامل سه زیر نمونه می‌باشد که با فاصله ۲ متر از هم برداشت و در محل روی کاغذی تمیز با هم مخلوط شد. قله سنگ‌ها جدا و به اندازه مورد نظر از هر نمونه در کیسه‌های نایلونی با مقاومت بالا ریخته و در محل کدگزاری شدند. سپس نمونه‌ها در هوای آزاد به مدت ۲ روز خشک و از الک 2 mm عبور داده شدند. در ادامه، از هر نمونه ۳۰۰ گرم، در هاون عقیق تا عبور کل ذرات از الک 2 mm مش خرد و نمونه‌ها برای تعیین غلظت فلزات سنگین توسط پلاسمای جفت شده القایی (ICP-OES) و pH در آزمایشگاه سازمان زمین‌شناسی کشور تجزیه شدند. برای تعیین درصد مواد آلی خاک از روش احتراق خشک (کوره) استفاده شد (Standard Methods 209f, APHA, 1995).

$$\text{L.O.I}_{550} = (\text{DW}_{105} - \text{DW}_{550}) / \text{DW}_{105} \times 100 \quad (1)$$

در این رابطه L.O.I کاهش وزن خاک در اثر احتراق، DW_{105} کاهش وزن در دمای 105°C DW_{550} کاهش وزن در دمای 55°C معلوم می‌سازد. جهت اندازه گیری ذرات و تعیین بافت خاک از طبقه‌بندی استاندارد کشاورزی امریکا (USDA, 1951) استفاده شد.

۵- بحث و نتایج

۱-۱. غلظت فلزات سنگین در خاک منطقه

در این مطالعه با توجه به نوع کانسار و تغییرات غلظت عناصر در خاک منطقه، فلزات Pb , As , Zn , Cd , Cu و Ag جهت ارزیابی انتخاب گردیدند، موقعیت نقاط نمونه‌برداری در شکل ۲ نشان داده شده است. نتایج نشان می‌دهند که متوسط pH خاک حاصل از باطله‌ها و خاک‌های منطقه به ترتیب $4/25$ و $7/62$ می‌باشد که با توجه به طبقه‌بندی خاک بر اساس pH (Soil Science Society of America, 1997) به ترتیب در محدوده شدیداً اسیدی و کمی قیایی قرار می‌گیرند (جدول ۲). با توجه به مقادیر مواد آلی، خاک باطله‌ها و خاک منطقه دارای مواد آلی کم می‌باشند (جدول ۲). کمبود مواد آلی در این خاک‌ها با توجه به اینکه در منطقه مورد مطالعه هیچ فعالیت کشاورزی صورت نمی‌گیرد و منطقه از پوشش گیاهی فقیر بوده قابل توجیه می‌باشد. ارزیابی بافت خاک بر جای منطقه، با استفاده از طبقه‌بندی استاندارد بافت خاک کشاورزی آمریکا در شکل ۳ آورده شده، که نشان می‌دهد خاک منطقه دارای بافت ماسه‌ای و ماسه‌ای لومی می‌باشد. با توجه به اینکه خاک حاصل از باطله‌ها در اثر فعالیت‌های معدنکاری گذشته در اطراف معدن شده‌اند، بنابراین این نمونه‌ها تعیین بافت نشده‌اند.

مقایسه غلظت عناصر در خاک حاصل از باطله‌ها (جدول ۲) با میانگین غلظت آنها

در چهار رده شرح داده است: $C_f < C_{f_1} \leq C_{f_2} \leq C_{f_3} \leq C_n$ آلدگی پایین، $C_{f_1} \leq C_{f_2} \leq C_{f_3}$ آلدگی متوسط، $C_{f_3} \leq C_{f_4} \leq C_n$ آلدگی بسیار بالا. با توجه به نتایج بدست آمده، میانگین ضریب آلدگی عناصر As, Zn, Pb و Cu در خاک باطله‌ها بالاتر از ۶ بوده و آلدگی بسیار بالا را نشان می‌دهند. میانگین ضریب آلدگی در خاک باطله‌ها برای Cd در محدوده آلدگی پایین قرار دارد. با توجه به میانگین ضریب آلدگی عناصر مورد بررسی در خاک بر جای منطقه، خاک منطقه نسبت به Zn, Pb و Zn دارای آلدگی بسیار بالا بوده و نسبت به فلزات As, Cu و Cd به ترتیب آلدگی Ag قابل توجه، آلدگی متوسط و آلدگی پایین را نشان می‌دهد (شکل ۶).

درجه آلدگی اصلاح شده توسط (Abrahim, 2005) به شرح زیر بیان شده است:

$$mC_d = -\sum C_f / n \quad (5)$$

n تعداد عناصر آنالیز شده و C_f ضریب آلدگی می‌باشد. جدول ۸ رده‌بندی پیشنهاد شده برای mC_d در خاک را نشان می‌دهد. همانطور که در شکل ۷ نشان داده شده، نمونه‌های خاک حاصل از باطله‌ها نسبت به تمام عناصر مورد نظر درجه آلدگی اصلاح شده بی‌نهایت را نشان می‌دهند. نمونه‌های نزدیک به کانه‌زایی و معدن نسبت به تمام عناصر، درجه آلدگی بی‌نهایت داشته که بیان کننده غلط اصلاح شده این عناصر در خاک اطراف زون کانه‌زایی است. نمونه‌های شاهد که مقادیر کمتر عناصر را دارا هستند درجه آلدگی کم را نشان می‌دهند.

۴-۵. شاخص بار آلدگی

شاخص بار آلدگی (Pollution Load Index) معیاری جهت تعیین بار آلدگی در خاک منطقه است (Thomilson et al., 1980)، که با استفاده از رابطه زیر محاسبه می‌شود:

$$PLI = (C_{f_1} \times C_{f_2} \times \dots \times C_{f_n})^{1/n} \quad (6)$$

n تعداد فلزات مورد مطالعه (۶ فلز)، C_f ضریب آلدگی محاسبه شده در رابطه PLI = ۱ است. در این حالت $C_f < 1$ نشان دهنده کیفیت خوب خاک منطقه، $C_f > 1$ نشان دهنده کیفیت نامناسب خاک منطقه است. آلدگی نزدیک به زمینه و $C_f > 1$ نشان دهنده کیفیت نامناسب خاک منطقه است. با توجه به محاسبات PLI نمونه‌های خاک منطقه و خاک حاصل از باطله‌ها که در شکل ۸ نشان داده شده است، تمام نمونه‌های خاک حاصل از باطله‌ها کیفیت نامناسب آنها را بیان می‌کنند. از طرف دیگر، نمونه‌های خاک اطراف معدن نیز از نظر غلط افلزات سنگین کیفیت نامناسب دارند.

۷- نتیجه‌گیری

بررسی غلط افلزات عناصر مورد بررسی در باطله‌های اطراف معدن متروکه سرب- روی آی قلعه‌سی نشان دهنده آلدگی شدید خاک حاصل از باطله‌ها نسبت به فلزات Pb, Zn, Cd, As, Cu, Cd و Cu می‌باشد. این خاک‌ها حاوی مقادیر بالای کانیهای گالن، اسفالریت، پیریت و کالکوپیریت هستند بنابراین توان آلایندگی بالایی دارند. بر اساس میانگین شاخص زمین ایشان، تمام نمونه‌های خاک باطله‌ها نسبت به فلزات Pb, Zn, Cu, As و Ag آلدگی شدید تا بی‌نهایت و نسبت به Cd بدون آلدگی می‌باشد. این خاک‌ها نسبت به عناصر سرب، روی، آرسنیک و نقره تیز غنی شدگی بی‌نهایت دارند. شاخص بار آلدگی، کیفیت نامناسب باطله‌های موجود در محدوده معدن متروکه را بیان می‌کند. بنابراین باطله‌های رها شده در اطراف معدن توان آلایندگی بالایی دارند.

غلط افلزات در نمونه‌های خاک بر جای منطقه متفاوت بوده و نمونه‌های در امتداد رگه معدنی و نزدیک به زون کانه‌زایی بالاترین مقادیر را برای تمام عناصر نشان می‌دهند. در بقیه نمونه‌ها با دور شدن از محدوده معدنی غلط افلزات عناصر (به جز برای عنصر Cd) کاهش می‌یابد ولی در اکثر نقاط غلط افلزات در مقایسه با متوسط خاک جهانی بالا می‌یابند که می‌تواند بیان کننده غلط افلزات بالای این فلزات در خاک‌های منطقه باشد. یکنواخت بودن غلط افلزات کادمیوم در تمام نمونه‌های خاک منطقه می‌تواند

خاک با فلزات هیچ رابطه معناداری نشان نمی‌دهند، این امر می‌تواند به دلیل مقادیر خیلی کم این دو پارامتر در خاک منطقه باشد.

۵- شاخص‌های ژئوشیمیایی

۵-۱. شخص زمین ایشان

یکی از فاکتورهای ژئوشیمیایی مهم برای توصیف غلط افلزات در هر منطقه، شخص زمین ایشان است (Geoaccumulation Index) (Muller, 1969) که از رابطه زیر محاسبه می‌شود:

$$I_{geo} = \log_2 \frac{C_n}{C_{ref}} \times B_n \quad (2)$$

در این رابطه، C_n غلط افلزات عنصر مورد مطالعه در نمونه خاک یا رسوب، B_n عنصر مورد مطالعه در مقدار زمینه (متوسط شیل جهانی) و ضریب $1/5$ برای حذف تأثیر سنگ‌شناسی است (Seshan, 2010). Muller, 1969; Luoping et al., 2007; Seshan, 2010) مطابق جدول ۶ شاخص زمین ایشان است به هفت رده تقسیم می‌شود (Habes, 2006; Luoping et al., 2007; Nikolaidis et al., 2010). در شکل ۴ متوسط شخص زمین ایشان عناصر در نمونه‌های خاک بر جا و خاک حاصل از باطله‌ها و در جدول رده‌بندی خاک بر اساس شاخص زمین ایشان نشان داده شده است.

با توجه به میانگین شاخص زمین ایشان، خاک حاصل از باطله‌ها نسبت به عناصر Zn , As , Pb , Cu آلدگی بی‌نهایت و نسبت به Ag آلدگی شدید تا بی‌نهایت را نشان می‌دهند. این نمونه‌ها نسبت به کادمیم بدون آلدگی می‌باشند. خاک بر جای منطقه نسبت به Ag آلدگی متوسط تا شدید، نسبت به Pb آلدگی متوسط و نسبت به Zn بدون آلدگی تا آلدگی متوسط هستند. عناصر As , Cd , As , Cu با توجه به شاخص زمین ایشان در خاک بر جای منطقه بدون آلدگی هستند.

۵-۲. ضریب غنی شدگی

ضریب غنی شدگی (Enrichment Factor) روش مناسبی جهت تعیین منشأ طبیعی و انسان‌زاد آلدگی است و از رابطه زیر محاسبه می‌شود (Loska et al., 1995):

$$EF = \left[\frac{C_x / C_{ref}}{\text{Sample}} \right] / \left[\frac{C_x / C_{ref}}{\text{Background}} \right] \quad (3)$$

در رابطه فوق، EF ضریب غنی شدگی، C_x غلط افلزات عنصر مورد بررسی، C_{ref} عنصر مرجع در پوسته می‌باشد. عنصر مرجع عنصری است که تغییرات اندکی در محیط داشته و غلط از آن در محیط متأثر از فعالیت‌های انسان نباشد. در این مطالعه Sc به عنوان عنصر مرجع در نظر گرفته شده است (مهرابی و همکاران، ۱۳۹۰). متوسط غنی شدگی عناصر در شکل ۵ و رده‌بندی خاک بر اساس ضریب غنی شدگی، در جدول ۷ آورده شده است.

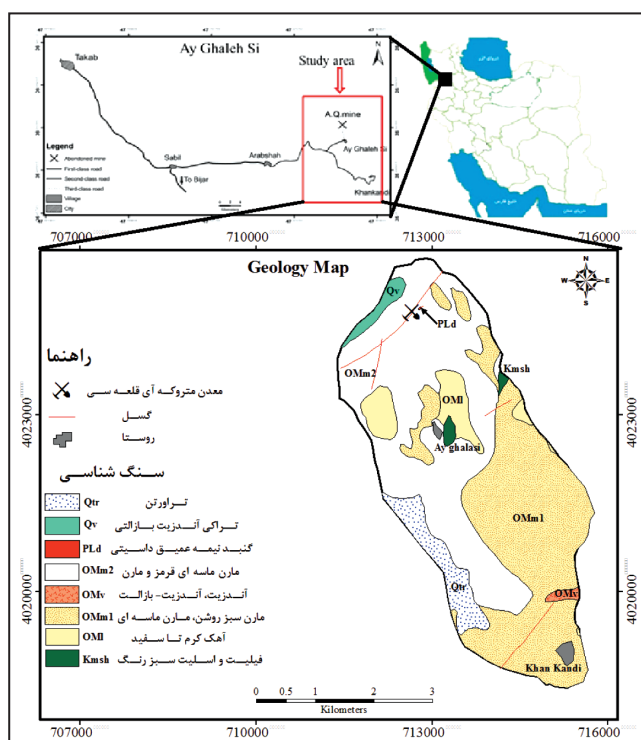
نمونه‌های خاک حاصل از باطله‌ها نسبت به عناصر Pb , Zn و As غنی شدگی بی‌نهایت و نسبت به Cu غنی شدگی قابل توجه دارند. این نمونه‌ها نسبت به Cd در محدوده بدون غنی شدگی قرار می‌گیرند. نمونه‌های خاک بر جای منطقه نسبت به As غنی شدگی بسیار بالا و نسبت به Zn , Pb و Ag غنی شدگی قابل توجه داشته و نسبت به Cu در محدوده بدون غنی شدگی تا غنی شدگی اندک قرار می‌گیرند.

۵-۳. ضریب آلدگی و درجه آلدگی اصلاح شده

به منظور بیان وضعیت آلدگی محیط نسبت به یک عنصر خاص، از ضریب آلدگی (Contamination Factor) و درجه آلدگی اصلاح شده Shakeri et al., (2008) modify Contamination Degree) می‌توان استفاده نمود (Abrahim & Parker., 2008 Hakanson (1980) استفاده شده که مطابق با رابطه زیر است:

$$C_f = C_0 / C_n \quad (4)$$

در این رابطه C_f ضریب آلدگی، C_0 غلط افلزات فلز در نمونه مورد بررسی و غلط افلزات فلز در شیل میانگین به عنوان مرجع می‌باشد. هاکنسون ضریب آلدگی را

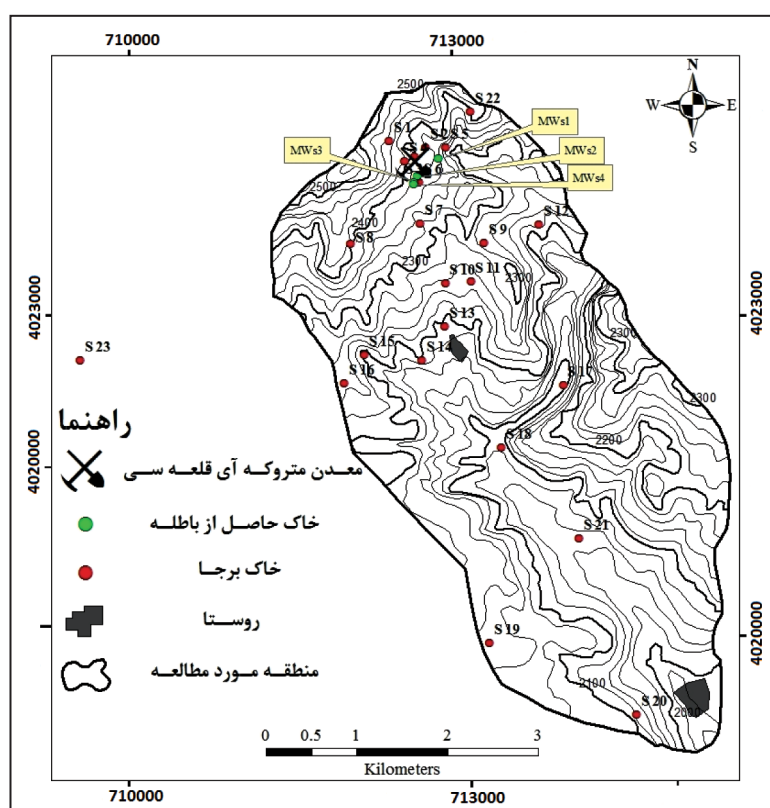


شکل ۱- نقشه زمین‌شناسی منطقه آی قلعه‌سی (برگرفته از نقشه ۱:۱۰۰۰۰۰ زمین‌شناسی تکاب؛ فودی و حربیری، ۱۳۷۹).

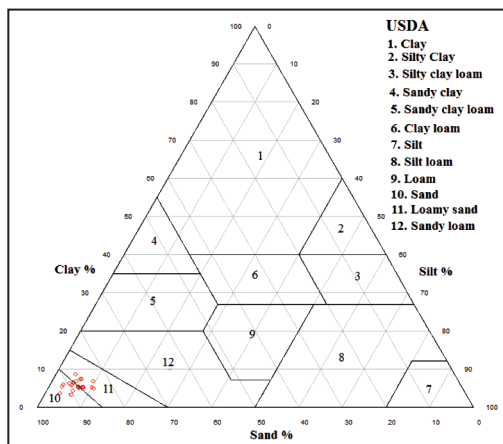
مریبوط به نوع کانه‌زایی و تأثیر گذار نبودن کانه‌زایی رخ داده بر افزایش غلظت این عنصر باشد. در خاور روستای آقی قلعه‌وسی که احتمالاً آنومالی دیگر سرب و روی در منطقه است (S₁₈, As, Zn, Pb) غلظت‌های بالای Cu و As نسبت به متوسط خاک جهانی قابل مشاهده است. بر اساس متوسط شاخص زمین‌اباشت خاک‌های منطقه نسبت به نقره آلودگی متوسط تا شدید داشته و بر اساس متوسط ضریب غنی‌شدگی، نسبت به آرسنیک غنی‌شدگی بسیار بالا دارند. شاخص بار آلودگی نیز در بیشتر نمونه‌های خاک بر جای منطقه به ویژه نمونه‌های نزدیک به محدوده معدنی کیفیت نامناسب خاک را نسبت به عناصر مورد نظر بیان می‌کند. بطور کلی نتایج نشان می‌دهند که حضور کانسار سرب- روی آقی قلعه‌وسی و معدن متروکه در منطقه تأثیر بسزایی بر نحوه پراکنش و افزایش غلضت عناصر Zn, Pb و Cu در خاک منطقه داشته و بر غلظت و توزیع کادمیم در خاک بر جای منطقه تأثیر گذار نبوده است. بالا بودن ضریب آلودگی و درجه آلودگی اصلاح شده و دیگر شاخص‌های ژئوشیمیایی در منطقه در برخی از نمونه‌های خاک برای عناصر As, Cd, Ag و مقداری زمینه بالای این عناصر را در منطقه مشخص می‌سازد.

سپاسگزاری

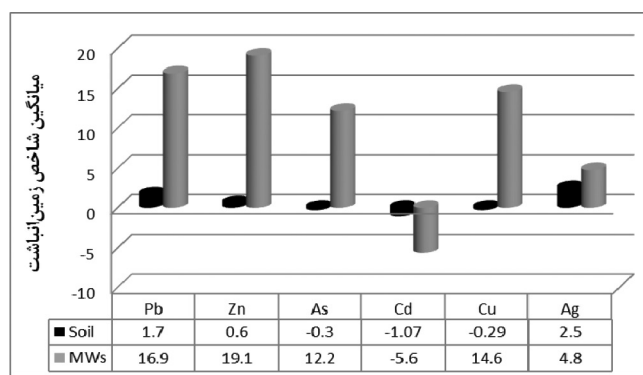
نویسنده‌گان بر خود لازم می‌دانند که از حمایت‌های مالی و همکاری‌های مالی و صورت پذیرفته از سوی سازمان زمین‌شناسی و اکتشافات معدنی کشور و دانشگاه صنعتی شاهروд تشكیل و قدردانی نمایند.



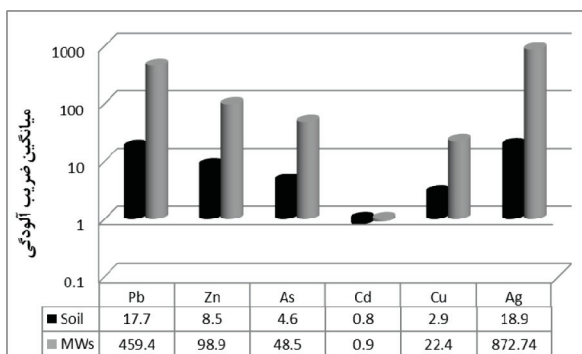
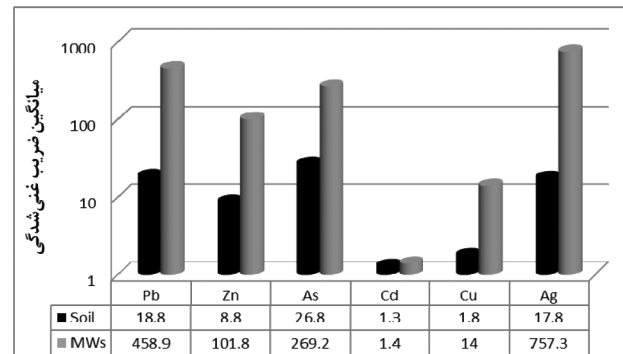
شکل ۲- موقعیت نقاط نمونه برداری خاک حاصل از باطله‌ها و خاک برجای منطقه بر روی نقشه ۱:۵۰۰۰۰ توپوگرافی (سازمان جغرافیایی نیروهای مسلح جمهوری اسلامی ایران، ۱۳۴۴).



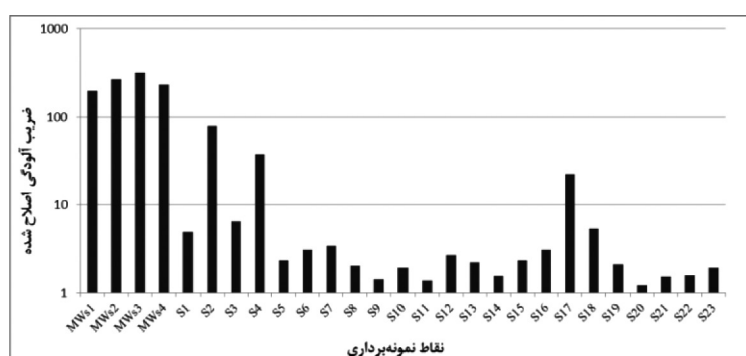
شکل ۳- رده‌بندی بافت خاک منطقه بر مبنای (USDA, 1951).

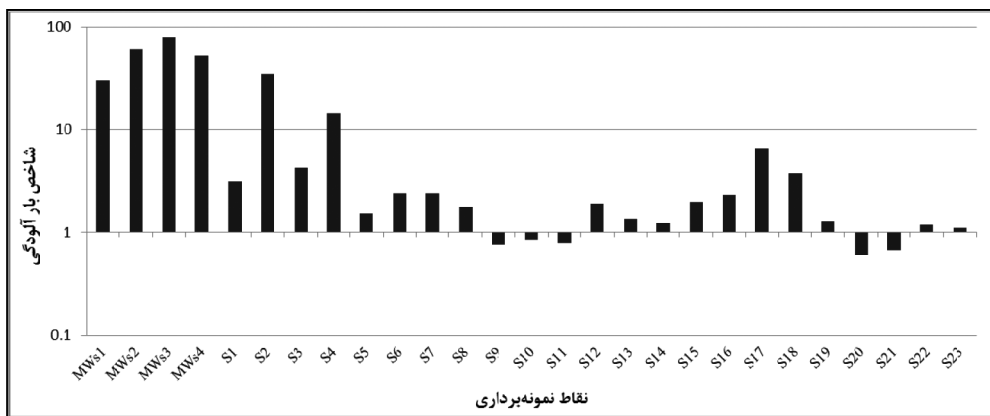


شکل ۴- میانگین شاخص زمین‌آبادشت خاک حاصل از باطله‌ها و خاک برجای منطقه.

شکل ۶- متوسط ضرب آلوگی در نمونه‌های خاک حاصل از باطله‌ها و خاک برجای منطقه (MWs₁-MWs₄) .(S₁-S₂₃)

شکل ۵- میانگین ضرب غنی‌شده خاک حاصل از باطله‌ها و خاک برجای منطقه..

شکل ۷- درجه آلوگی اصلاح شده نمونه‌های خاک حاصل از باطله‌ها (MWs₁-MWs₄) و خاک برجای منطقه (S₁-S₂₃)

شکل ۸- شاخص بار آلودگی نمونه‌های خاک حاصل از باطله‌ها (MWs₁-MWs₄) و خاک بر جای منطقه (S₁-S₂₃).جدول ۲- مقادیر پارامترهای فیزیکوشیمیابی اندازه‌گیری شده در نمونه‌های خاک باطله (MWs₁-MWs₄) و خاک بر جای منطقه (S₁-S₂₃).

جدول ۱- مشخصات محل‌های نمونه‌برداری خاک بر جا (S) و خاک حاصل از باطله (MWs).

نمونه	pH	مواد آلی (%)	رس (%)	سیلت (%)	ماسه (%)
MWs ₁	۴/۳۷	۰/۹۵	-	-	-
MWs ₂	۴/۴	۱/۵۱	-	-	-
MWs ₃	۳/۸۹	۱/۸۶	-	-	-
MWs ₄	۴/۳۶	۱/۶۱	-	-	-
S _۱	۷/۱۶	۱/۰۵	۸/۵۲	۴/۵۸	۸۶/۹۰
S _۲	۸/۰۲	۰/۸۹	۵/۱۴	۷/۰۳	۸۷/۸۳
S _۳	۷/۷۵	۰/۷۸	۵/۰۶	۷/۲۵	۸۷/۶۹
S _۴	۷/۸۵	۰/۴۲	۵/۲۴	۶/۹۶	۸۷/۸۰
S _۵	۸/۵۴	۰/۶۴	۴/۸۹	۷/۲۱	۸۷/۹۰
S _۶	۸/۴۴	۰/۷۶	۳/۵۳	۳/۵۳	۹۲/۹۴
S _۷	۷/۷۹	۰/۸۱	۴/۲۱	۶/۱۳	۸۹/۶۶
S _۸	۷/۸۰	۰/۴۴	۳/۲۰	۶/۳۸	۹۰/۴۲
S _۹	۸/۸۰	۰/۵۹	۵/۰۲	۸/۱۲	۸۹/۸۰
S _{۱۰}	۶/۸۲	۰/۸۲	۷/۳۲	۶/۳۸	۸۹/۳۰
S _{۱۱}	۸/۴۵	۱/۲۱	۶/۴۳	۵/۲۱	۸۸/۳۶
S _{۱۲}	۷/۷۸	۰/۳۳	۵/۱۴	۱۰/۰۶	۸۴/۸۰
S _{۱۳}	۶/۳۵	۱/۰۸	۵/۱۸	۷/۹۴	۸۹/۸۸
S _{۱۴}	۷/۵۴	۰/۸۹	۷/۱۸	۶/۷۸	۸۹/۰۴
S _{۱۵}	۷/۰۰	۱/۰۲	۶/۲۷	۴/۳۹	۸۹/۳۴
S _{۱۶}	۶/۹۸	۱/۱۵	۵/۳۱	۳/۲۱	۹۱/۴۸
S _{۱۷}	۷/۶۰	۱/۰۶	۵/۷۸	۳/۲	۹۱/۰۲
S _{۱۸}	۷/۷۹	۱/۴۷	۵/۱۳	۸/۱۴	۸۶/۷۳
S _{۱۹}	۸/۱۶	۱/۲۱	۶/۶۸	۹/۵۴	۸۳/۷۸
S _{۲۰}	۷/۰۳	۰/۸۰	۴/۷۶	۱۰/۶۸	۸۴/۵۶
S _{۲۱}	۷/۴۵	۰/۶۸	۲/۷۸	۴/۲۲	۹۳/۰۰
S _{۲۲}	۷/۵۸	۱/۱۸	۲/۶۳	۵/۱۸	۹۲/۱۹
S _{۲۳}	۶/۵۱	۰/۸۶	۶/۷۰	۵/۷۸	۸۷/۵۲

کد نمونه‌ها	طول جغرافیایی	عرض جغرافیایی	توضیحات
S _۱	۷۱۲۴۱۸	۴۰۲۵۰۰۳	بالادست معدن متروکه
S _۲	۷۱۲۷۴۸	۴۰۲۴۹۳۲	امتداد رگه اصلی معدنی
S _۳	۷۱۲۶۵۰	۴۰۲۴۸۳۳	شمال خاور معدن متروکه
S _۴	۷۱۲۵۶۵	۴۰۲۴۷۸۴	شمال تراشه افقی معدن متروکه
S _۵	۷۱۲۹۲۷	۴۰۲۴۹۴۵	خاک‌های پشت معدن، روپری باطله
S _۶	۷۱۲۶۹۷	۴۰۲۴۵۵۴	روپری رگه اصلی معدنی
S _۷	۷۱۲۷۱۶	۴۰۲۴۱۰۴	مسیر معدن تا آی قلعه‌سی
S _۸	۷۱۲۱۰۸	۴۰۲۳۸۶۶	۷۰۰ متری گسل اصلی
S _۹	۷۱۳۲۹۱	۴۰۲۳۹۰۲	نزدیه به آبراهه زهاب از آی قلعه‌سی
S _{۱۰}	۷۱۲۹۶۶	۴۰۲۳۴۴۹	۵۰۰ متری روستای آی قلعه‌سی
S _{۱۱}	۷۱۳۱۹۰	۴۰۲۴۴۸۱	واحد آهکی نزدیک آی قلعه‌سی
S _{۱۲}	۷۱۳۷۷۸	۴۰۲۴۱۲۱	آبراهه نزدیک جاده روستای آی قلعه‌سی
S _{۱۳}	۷۱۲۹۷۱	۴۰۲۲۹۷۷	نزدیک جاده روستای آی قلعه‌سی
S _{۱۴}	۷۱۲۷۶۹	۴۰۲۲۵۹۸	غرب روستای آی قلعه‌سی
S _{۱۵}	۷۱۲۲۶۰	۴۰۲۲۶۴۸	واحد آهکی غرب آی قلعه‌سی
S _{۱۶}	۷۱۲۰۸۴	۴۰۲۲۳۳۴	یک کیلومتری غرب آی قلعه‌سی
S _{۱۷}	۷۱۴۰۳۹	۴۰۲۲۳۵۲	مسیر آبراهه اصلی خاور آی قلعه‌سی
S _{۱۸}	۷۱۳۵۰۸	۴۰۲۱۶۵۷	جنوب روستای آی قلعه‌سی
S _{۱۹}	۷۱۳۴۵۲	۴۰۱۹۵۰۹	واحد تراورتنی مسیر روستای خان‌کندي
S _{۲۰}	۷۱۴۷۸۴	۴۰۱۸۷۵۶	غرب روستای خان‌کندي
S _{۲۱}	۷۱۴۲۲۱	۴۰۲۰۶۷۸	۲ کیلومتری شمال روستای خان‌کندي
S _{۲۲}	۷۱۰۲۵۸	۴۰۲۲۰۱۴	نمونه شاهد شمال خاور معدن
S _{۲۳}	۷۰۹۷۲۴	۴۰۲۲۵۲۵	نمونه شاهد غرب روستای آی قلعه‌سی
MWs _۱	۷۱۲۸۶۱	۴۰۲۴۸۱۷	خاک باطله پشت معدن
MWs _۲	۷۱۲۶۸۳	۴۰۲۴۶۱۹	خاک باطله روپری رگه اصلی
MWs _۳	۷۱۲۶۵۲	۴۰۲۴۵۵۰	خاک باطله کنار رگه اصلی
MWs _۴	۷۱۲۶۵۴	۴۰۲۴۵۳۱	خاک باطله کنار رگه اصلی

جدول ۳- غلظت فلزات سنگین در نمونه‌های خاک حاصل از باطله‌ها (MWs_1 - MWs_4) و خاک
بر جا (S_1 - S_{23}) بر حسب .mg/kg

نمونه	Pb	Zn	As	Cd	Cu	Ag
MWs_1	۶۴.۰	۲۷۷۲/۰	۰/۱	۲۰.۹/۲	۴۲۳۱/۹	۹۴۰.۴/۷
MWs_2	۶۲/۵	۱۲۷۷/۹	۰/۲	۵۱۵/۱	۱۰۴۱۶/۹	۱۰۲۳۰/۰
MWs_3	۷۹/۷	۱۷۳۱/۲	۰/۳	۱۰۳۷/۰	۱۱۱۰۴/۴	۱۰۰۱۴
MWs_4	۴۶/۰	۷۴۲/۵	۰/۱	۷۶۲/۱	۱۱۱۷۶/۰	۱۰۱۰۰
S_1	۰/۹	۵۴/۹	۰/۲	۲۳/۱	۴۵۴/۸	۱۴۴/۰
S_2	۹/۷	۱۵۱۶/۲	۰/۱	۴۸۱/۹	۱۱۱۴۰/۹	۲۹۱۴/۹
S_3	۰/۷	۹۰/۱	۰/۲	۳۴/۹	۶۹۶/۰	۳۳۰/۹
S_4	۵/۳	۳۱۷/۳	۰/۲	۹۶/۳	۲۱۴۷/۸	۲۱۹۶/۵
S_5	۰/۵	۳۲/۹	۰/۲	۹/۱	۱۴۰/۶	۵۱/۸
S_6	۰/۴	۵۱/۵	۰/۱	۴۰/۷	۲۵۱/۴	۱۰۶/۲
S_7	۰/۳	۴۲/۳	۰/۱	۱۲۹/۲	۱۵۸/۶	۵۴/۰
S_8	۰/۳	۶۴/۱	۰/۲	۲۵/۷	۱۴۴/۴	۴۷/۵
S_9	۰/۴	۱۱/۳	۰/۲	۷/۷	۳۲/۰	۱۲/۸
S_{10}	۰/۴	۴۵/۸	۰/۱	۰/۵	۱۱۷/۵	۵۶/۳
S_{11}	۰/۴	۳۲/۲	۰/۱	۲/۴	۴۶/۱	۲۵/۱
S_{12}	۰/۶	۵۵/۹	۰/۲	۲۵/۰	۱۴۷/۹	۲۹/۷
S_{13}	۰/۶	۳۵/۱	۰/۲	۱۳/۷	۶۳/۲	۲۷/۲
S_{14}	۰/۲	۴۱/۹	۰/۲	۴/۹	۱۷۹/۵	۴۰/۸
S_{15}	۰/۴	۶۸/۴	۰/۳	۱۵/۹	۱۶۳/۷	۵۸/۱
S_{16}	۰/۳	۴۱/۱	۰/۱	۵۰/۸	۲۹۳/۰	۹۹/۳
S_{17}	۴/۹	۷۱/۷	۰/۱	۱۷۳/۱	۱۶۴/۰	۸۹۹/۴
S_{18}	۰/۷	۱۲۲/۷	۰/۲	۱۲۰/۴	۱۹۰/۳	۱۵۶/۰
S_{19}	۰/۳	۲۲/۳	۰/۱	۶/۰	۱۶۵/۴	۹۵/۱
S_{20}	۰/۲	۲۲/۸	۰/۱	۰/۵	۱۵۳/۸	۵۱/۶
S_{21}	۰/۴	۲۸/۳	۰/۱	۰/۵	۱۴۵/۰	۳۱/۲
S_{22}	۰/۳	۳۳/۴	۰/۱	۱۸/۷	۸۶/۳	۲۷/۰
S_{23}	۰/۵	۱۹/۸	۰/۱	۳۰/۵	۴۷/۳	۱۹/۵

جدول ۴- حداقل مقدار مجاز عنصر در خاک هلن و تعدادی از استانداردهای خاک (بر حسب .mg/kg)

عنصر	هلند ^a (۲۰۰۳) مقادیر نرمال	میانگین خاک جهانی ^b	میانگین پوسته‌ای ^b	میانگین شیل ^c
Pb	۸۵	۲۷	۱۵	۲۰
Zn	۱۴۰	۷۰	۷۰	۹۵
As	۲۹	۶/۸۳	۱/۸	۱۲
Cd	۰/۸	۰/۴۱	۰/۱	۰/۲۲
Cu	۳۶	۳۸/۹	۵۵	۴۵
Ag	-	۰/۱۳	۰/۰۶	۰/۰۷

a) VROM (2003)

b) Kabata-Pendias (2011)

c) Turekian and Wedepohl (1961)

جدول ۵- ماتریس همیستگی فلزات سنگین Zn، Pb، As، Cd، Cu، Ag و پارامترهای فیزیکوشیمیایی خاک.

	Pb	Zn	As	Cd	Cu	Ag	pH	OM	Clay	Silt	Sand
Pb	۱										
Zn	۰/۸۸۲**	۱									
As	۰/۶۰۱**	۰/۱۵۰**	۱								
Cd	۰/۰۹۰	۰/۰۸۲	۰/۰۵۳۲**	۱							
Cu	۰/۸۶۱**	۰/۹۰۰**	۰/۶۱۴**	۰/۱۸۸**	۱						
Ag	۰/۸۵۲**	۰/۷۰۰**	۰/۶۲۶**	۰/۱۹۸	۰/۷۹۹**	۱					
pH	۰/۱۴۳	۰/۱۲۳	۰/۱۶۲	۰/۱۶۶	۰/۰۹۶	۰/۱۲۳	۱				
OM	-۰/۱۳۴	-۰/۱۷۹	۰/۰۷۷	-۰/۱۲۵	-۰/۰۵۱	-۰/۰۹۶	-۰/۲۲۴	۱			
Clay	-۰/۲۲۶	۰/۱۰۱	۰/۱۷۷	۰/۱۵۴	۰/۰۵۰	۰/۱۰۴	-۰/۲۱۷	-۰/۳۷۳	۱		
Silt	-۰/۰۵۸	-۰/۰۳۰	۰/۱۶۱	-۰/۳۶۹	-۰/۱۱۶	-۰/۱۷۳	-۰/۰۴۵	-۰/۰۷۱	-۰/۲۲۲	۱	
Sand	-۰/۱۵۲	-۰/۰۰۵	-۰/۱۳۲	-۰/۲۳۹	-۰/۰۳۷	-۰/۰۷۸	-۰/۰۹۸	-۰/۳۶۶	-۰/۰۹۰۸	-۰/۴۴۶*	۱

** ارتباط معنی‌داری در سطح ۱ درصد * ارتباط معنی‌داری در سطح ۵ درصد

جدول ۷- ردهبندی مقادیر ضریب غنی شدگی .(Sutherland, 2000)

EF	شد خنی شدگی
EF < ۲	بدون غنی شدگی تا غنی شدگی اندک
EF = ۲ - ۵	غنی شدگی متوسط
۵EF = - ۲۰	غنی شدگی قابل توجه
۲۰EF = - ۴۰	غنی شدگی بسیار بالا
EF > ۴۰	غنی شدگی پنهانیت

جدول ۶- شاخص زمین‌اباشت بر اساس .(Muller, 1969)

شد آلدگی	I_{geo}	محدوده	گروه
بدون آلدگی	$> I_{geo}$	$> I_{geo}$	۰
بدون آلدگی تا آلدگی متوسط	$1 < I_{geo} < 2$	$1 < I_{geo} < 2$	۱
آلودگی متوسط	$2 < I_{geo} < 3$	$2 < I_{geo} < 3$	۲
آلودگی متوسط تا شدید	$3 < I_{geo} < 4$	$3 < I_{geo} < 4$	۳
آلودگی شدید	$4 < I_{geo} < 5$	$4 < I_{geo} < 5$	۴
آلودگی شدید تا نهایت	$5 < I_{geo} < 6$	$5 < I_{geo} < 6$	۵
آلودگی بی نهایت	$6 < I_{geo}$	$6 < I_{geo}$	۶

جدول ۸- ردهبندی درجه آلدگی اصلاح شده .(Abrahim and Parker., 2008)

mC_d	درجه آلدگی
$1/5 > mCd$	بدون آلدگی تا آلدگی کم
$1/5 < mCd < 5/2$	درجه آلدگی کم
$< mCd < 2/4$	درجه آلدگی متوسط
$< mCd < 4/8$	درجه آلدگی بالا
$< mCd < 8/16$	درجه آلدگی خیلی بالا
$< mCd < 16/32$	درجه آلدگی بشدت بالا
$32 < mCd$	درجه آلدگی بی نهایت

کتابنگاری

- آفتابی، س.ع، ۱۳۸۳- زمین‌شناسی ایران، سازمان زمین‌شناسی و اکتشافات معدنی کشور، ۵۸۶.
- سازمان جغرافیایی نیروهای مسلح جمهوری اسلامی ایران، ۱۳۳۴- نقشه توپوگرافی عربشاه ۱:۵۰۰۰۰ (۲۱۶۱).
- شرکت معدنکاران انگوران، ۱۳۹۱- آنالیز سه نمونه مختلف کانسنگ معدن سرب و روی آی قلعه‌سی، آزمایشگاه شرکت معدنکاران انگوران.
- شیرخانی، م، ۱۳۸۶- کانی‌شناسی، ژئوشیمی و ژئوکاربری روی- سرب و عناصر همراه در کانسار آی قلعه‌سی، جنوب خاوری تکاب، پایان‌نامه کارشناسی ارشد، دانشگاه تربیت مدرس، ۱۶۱.
- صالحی، ط. قادری، م. و رشیدزاده عمران، ن. ا، ۱۳۸۹- کانی‌شناسی و ژئوشیمی عناصر نادر خاکی در کانسار روی- سرب- مس (نقره) گمیش‌تپه، جنوب غرب زنجان، مجله زمین‌شناسی اقتصادی، شماره ۲، جلد ۲، ص. ۲۳۵- ۲۵۴.
- عزیزی، پ، ۱۳۸۶- گزارش فعالیت‌های اکتشافی محدوده آی قلعه‌سی، شرکت معدنکاران انگوران، ۱۲۲.
- فودی، م. و حربی، ع، ۱۳۷۹- نقشه زمین‌شناسی ۱:۱۰۰۰۰۰ تکاب، سازمان زمین‌شناسی و اکتشافات معدنی کشور.
- قربانی، م، ۱۳۸۱- دیباچه‌ای بر زمین‌شناسی اقتصادی ایران، وزارت صنایع و معادن، سازمان زمین‌شناسی و اکتشافات معدنی کشور، پایگاه ملی داده‌های علوم زمین کشور، تهران، ص. ۶۵۹.
- مهرابی، ب، مهریانی، ش، رفیعی، ب، یعقوبی، ب. و دانشور، ن، ۱۳۹۰- بررسی غلظت فلزات سنگین (Ni, Pb, Cu, Zn, Cr) در خاک‌های محدوده معدن انگوران، سی‌امین گردهمایی علوم زمین، سازمان زمین‌شناسی و اکتشافات معدنی کشور.
- نبوی، م.ح، ۱۳۵۵- دیباچه‌ای بر زمین‌شناسی ایران، سازمان زمین‌شناسی و اکتشافات معدنی کشور.
- وهابزاده کبریا، ق، براتی، م، عشقی ملایری، ب، و میرغفاری، ن، ا، ۱۳۸۴- اثرات زیست محیطی فرایندهای استخراج و فراوری معدن سرب و روی آهنگران، پژوهشنامه علوم کشاورزی و منابع طبیعی خزر، شماره سوم، ص ۵۲- ۶۳.

References

- Abrahim, G. M. S., 2005- Holocene sediments of Tamaki Estuary: Characterisation and impact of recent human activity on an urban estuary in Auckland, New Zealand, Ph.D. thesis, University of Auckland, Auckland, New Zealand, 361 pp.
- Abrahim, G. M. S. & Parker, R. J., 2008- Assessment of heavy metal enrichment factors and the degree of contamination in marine sediments from Tamaki Estuary, Auckland, New Zealand, Environ Monit Assess 136, 227- 238.

- Ashley, P. M., Lottermoser, B. G., Collins A. J. & Grant C. D., 2004- Environmental geochemistry of the derelict Webbs Consols mine, New South Wales, Australia, *Environmental geology* 46, 591-604.
- Bergamaschi, L., Rizzio, E., Valcuvia, M. G., Verza, G., Profumo, A. & Gallorini, M, 2002- Determination of trace elements and evaluation of their enrichment factors in Himalayan lichens, *Environmental Pollution* 120, 137-144.
- Bradl, H. B., 2005- Heavy elements in environment, Elsevier Ltd, 283 pp.
- Detra, D. E., 1977- Delineation of an anomalous lead- zinc in the Philip Smith Mountain A-2 quadrangle, Alaska, Report U. S. Geological Survey.
- Habes, G. & Nigem, Y., 2006- Assessing Mn, Fe, Cu, Zn, and Cd pollution in bottom sediments of Wadi Al-Arab Dam, Jordan. *Chemosphere* 65, 2114–2121.
- Hakanson, L., 1980- An ecological risk index for aquatic pollution control. a sedimentological approach, *Water Research*, 14, 8, 975-1001.
- Hernandez, L., Probst, A., Probst, J. L. & Ulrich, E., 2003- Heavy metal distribution in some French forest soils: evidence for atmospheric contamination. *The Science of the Total Environment* 312, 195–219.
- Hooda, P. S., 2010- Trace elements in soil, Blackwell Publishing Ltd,London, 618 pp.
- Ikenaka, Y., Nakayama, S. M. M., Muzandu, K., Choongo, K., Teraoka, H., Mizuno, N. & Ishizuka, M., 2010- Heavy metal contamination of soil and sediment in Zambia, *Africa Journal of Environmental Science and Technology* 4, 11, 729-739.
- Johnson, M. S., Cook, J. A. & Stevenson, J. K. W., 1994- Revegetation of metalliferous wastes and land after metal mining. In: R. E. Hester and R. M. Harrison, Editors, *Mining and its Environmental Impact, Issues in Environmental Science and Technology*, Royal Society of Chemistry, London, 31-48.
- Kabata-Pendias, A., 2011- Trace elements in soils and plants, CRC Press Taylor & Francis Group, 534.
- Keskin, T. & Toptaş, E., 2012- Heavy metal pollution in the surroundingg ore deposits and mining activity: a case stady from Koyulhisar (Sivas-Turkey) *Eviron Earth Science* 67, 859-866.
- Lee, Ch. H., 2003- Assessment of contamination load on water, soil and sediment affected by the Kongjujeil mine drainage, Republic o Korea, *Environmental Geology* 44, 501-515.
- Loska, K., Chebual, J., Pleczar, J., Wiechla, D. & Kwapulinski, J., 1995- Use of environment and contamination factors togheder with geoaccumulation indexes to elevate the content of Cd, Cu and Ni in the Rybink water reservoir in Poland, *Water, Air and Soil pollution*, 93, 347-365.
- Luoping Zhang, X, Y., Huan Feng, Y, J., Tong Ouyang, X, Y., Rongyuan Liang, C, G. & Weiqi, C., 2007- Heavy metal contamination in western Xiamen Bay sediments and its vicinity, China, *Marine Pollution Bulletin* 54, 974–982.
- Muller, G. 1969- Index of geoaccumulation in the sediments of the Rhine River. *Geojournal* 2, 108–118.
- Nganje, T. N., Adamu, C. I. & Ukpong, E. E., 2010- Heavy metal concentrations in soils and plants in the vicinity of Arufu lead- zinc mine, middle benue Trough, Nigeria 29, 167-174.
- Nikolaidis, Ch., Zafiriadis, I., Mathioudakis, V. & Constantinidis, Th., 2010- Heavy metal pollution Associated with an abandoned Lead-Zinc mine in the Kirkí Region, NE Greece, *Bulletin of environmental contamination and toxicology* 85, 3, 307-312.
- Ruiz, E., Azcarate, J. A., Rodriguez, L. & Rincon, J., 2009- Assessment of metal availability in soil from a Pb- Zn Mine site of south-Central Spain, *Soil and Sediment Contamination* 18, 619-641.
- Seshan,B, R, R., Natesan, U. & Deepthi, K., 2010- Geochemical and statistical approach for evaluation of heavy metal pollution in core sediments in southeast coast of India. *Int. J. Environ. Sci. Tech* 7, 291-306.
- Shakeri, A., Moor, F. & Razikordmahalleh, L., 2010- Distribution of soil heavy metal contamination around industrial complex zone, Shiraz, Iran, 19th World Congress of Soil Science, *Soil Solutions for a Changing World*, Brisbane, Australia.
- Soil Science Society of America., 1997- Glossary of soil science terms. *Soil Sci. Soc. Am.*, Madison, WI.
- Srivastava, V., 2011- Structural control of lead and zinc mineralisation in a part of Tons river valley, Uttarakhand- Himachal lesser Himalaya, *Journal of Scientific Research* 55, 1-10.
- Stocklin, G., 1968- Structural history and tectonic of Iran: A review, *Amer. Assoc. Petrol. Geologists Bull.*, K 52, 7, 1229-1258.
- Thomilson, D. C., Wilson, D. J., Harris, C. R. & Jeffrey, D. W., 1980- Problem in heavy metals in estuaries and the formation of pollution index. *Helgol. Wiss. Meeresulter* 33(1-4), 566–575.
- Turekian, K. K. & Wedepohl, K. H, 1961- Distribution of elements in some major units of the earth's crust, *Geol. Soc. Of American Bull* 72, 175-192.
- USDA (U. S. Dept. of Agriculture), 1951- Soil Conservation Service. Soil Survey Staff, *Soil Survey Manual*. U.S. Dept. of Agric. Handb. 18. U.S. Govt. Print. Off. Washington, DC. P. 503 , illus.
- VROM., 2003- ANNEX A: target values, soil remediation intervention values and indicative levels for serious contamination. Nether land ministry of housing, spatial planning and the environment.